

# تحلیل ارتعاشات آزاد ورق تابعی مدرج تقویت شده با نانولوله های کربنی تک جداره با استفاده از تئوری الاستیسیته سه بعدی

سعید جعفری مهرآبادی<sup>۱</sup> و شاپور ابراهیمی<sup>۲</sup>

دانشکده فنی مهندسی

دانشگاه آزاد اسلامی، واحد اراک

(تاریخ دریافت: ۱۳۹۱/۱/۱۹؛ تاریخ پذیرش: ۱۳۹۲/۳/۱۴)

## چکیده

در این مقاله، ارتعاشات آزاد یک ورق مستطیلی از جنس مواد تابعی مدرج که توسط نانولوله های کربنی تقویت شده، مورد بررسی قرار گرفته است. در محاسبه خواص ورق مرکب مذکور از مدل موری-تاناکا استفاده شده و معادلات دیفرانسیل حاکم بر مسئله با استفاده از تئوری الاستیسیته سه بعدی به دست آمده اند. برای حل معادلات به دست آمده از روش چند جمله ای های دیفرانسیلی (GDQ) استفاده شده است. در ادامه در قالب یک مثال عددی فرکانس های ارتعاشات آزاد ورق در شرایط مرزی تکیه گاه ساده با تغییر در پارامترهای مختلف مسئله (توزیع چینش نانولوله ها- خواص ماده تابعی مدرج- مشخصات هندسی ورق) محاسبه شده اند. با توجه به مقایسه نتایج به دست آمده با نتایج مندرج در مراجع دیگر از نحوه حل مسئله اطمینان کافی حاصل شده است.

**واژه های کلیدی:** ارتعاشات آزاد، ورق تابعی مدرج تقویت شده، نانولوله های کربنی تک جداره، تئوری الاستیسیته سه بعدی، روش

چند جمله ای های دیفرانسیلی (GDQ)

## Free Vibration Analysis of FGM Plate Reinforced with Single Wall Carbon Nanotubes Using 3-D Elasticity Theory

S. Jafari Mehrabadi and Sh. Ebrahimi

Faculty Engineering Technology  
Arak Branch, Islamic Azad University

(Received: 7/April/2012; Accepted: 4/June/2013)

## ABSTRACT

In this paper, free vibration of a functionally graded rectangular plate reinforced by carbon nanotubes have been investigated. The material properties of the composite plate have been calculated by the Mori-Tanaka model and the governing differential equations of problem have been derived using 3-D elasticity. For solving the differential equations of motion we used the generalized differential quadrature (GDQ) technique by regarding the appropriate grid points. Finally, by solving the numerical example for a simply supported plate, the frequency vibration of plate by assuming the variation of problem parameters (distribution of carbon nanotubes-properties of plate-geometrical features of problem) has been calculated. Also, the convergence of the method is demonstrated and to validate the results, comparisons are made with the available references.

**Keyword:** Free Vibration, Functionally Graded Material, Carbon Nanotubes, 3-D Elasticity Theory, Differential Quadrature Method

۱- استادیار (نویسنده پاسخگو): s-jafari@iau-arak.ac.ir

۲- کارشناسی ارشد: shapour.ebrahimi@tvu.ac.ir

## ۱- مقدمه

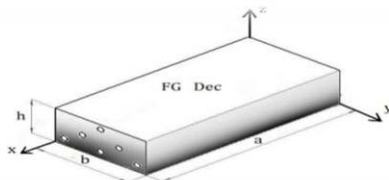
صفحات نازک مستطیلی FGM در حالت تنفس صفحه‌ای با تکیه‌گاه الاستیک، استفاده کردند. قوچال و شیمپی [۲]، با مطالعه تئوری‌های اصلاح شده ورق‌ها و بررسی نتایج آنها با تئوری الاستیسیته سه‌بعدی، مزایا و معایب هر یک را بررسی کردند. باترا و جین [۳]، با استفاده از روش المان محدود ارتعاشات ورق‌های مستطیلی ساخته شده از مواد تابعی مدرج ناهمسانگرد را بر پایه تئوری مرتبه اول تغییر شکل برشی مطالعه کردند. چنگ و باترا [۴]، حالت پایدار ارتعاش و کمانش صفحه چند ضلعی ایزووترپیک FGM بر روی تکیه‌گاه الاستیک را تحت بار هیدروستاتیکی یکنواخت را با استفاده از تئوری تغییر شکل برشی مرتبه سوم ر دی مطالعه کردند. یانگ وشن [۵]، ارتعاش آزاد و اجباری ورق FGM تحت تنفس اولیه در محیط حرارتی با توزیع یکنواخت حرارت را بر اساس تئوری برشی مرتبه بالا بررسی کردند. کیان و همکاران [۶]، ارتعاشات آزاد و اجباری ورق‌های ضخیم FGM را بر پایه تئوری تغییر شکل برشی مرتبه بالا و روش پتروف- گالرکین تحلیل کردند. خدیر و ردی [۷]، ارتعاشات گذراي ورق‌های ضخیم چند لایه نامتقارن با شرایط مرزی تکیه‌گاه ساده تحت بارگذاری دلخواه را مطالعه کردند. روکو و همکارانش [۸]، تحلیل ارتعاش آزاد را برای ورق FGM با استفاده از تئوری تغییر شکل برشی مرتبه بالا را انجام دادند. ملکزاده [۹]، در تحقیقی، ارتعاش آزاد سه‌بعدی ورق FGM بر روی تکیه‌گاه الاستیک را ارائه نمود و از روش نیمه تحلیلی متشکل از روش DQM و روش سری‌ها برای حل معادلات حرکت استفاده کرد. متمنوناگا [۱۰]، فرکانس‌های طبیعی و کمانش صفحات FGM را با استفاده از تئوری تغییر شکل برشی مرتبه بالا تحلیل کرده است. وو [۱۱]، یک روش تحلیلی را برای بررسی رفتار ارتعاش آزاد غیر خطی صفحات FGM ارائه داده است. حسینی هاشمی و ارسنجانی [۱۲]، برای ارتعاشات آزاد ورق‌های مستطیلی ضخیم، پاسخ تحلیلی دقیق ارائه کردند که به ورق‌های همسانگرد محدود می‌شد. از سوی دیگر، کارهای تحقیقاتی بر روی تحلیل ارتعاش آزاد و سه بعدی صفحات FGM با تکیه‌گاه ساده و تکیه‌گاه الاستیک بوده‌اند. در این کارها موضوع تقویت صفحات FGM با نانولوله‌های کربنی بررسی و تحلیل نشده است. بررسی این خلا آشکار در تحقیقات انجام شده، انگیزه اصلی انجام این پژوهش شده است. در این مقاله، ارتعاشات آزاد ورق مستطیلی از جنس مواد تابعی مدرج FGM که با نانولوله‌های کربنی تک جداره (SWCNTS) تقویت شده مورد بررسی قرار گرفته است. تغییرات تدریجی خواص ماده مدرج تابعی به صورت تغییر در

گسترش روزافرون علوم و فنون در صنایع پیشرفته امروزی (هواشناسی، نظامی، هسته‌ای و...) شناخت و به کارگیری مواد جدیدتر روزبه روز از اهمیت بیشتری برخوردار می‌شود. در این راستا تحقیقات صنعتی و دانشگاهی توجه خاصی به شناخت، تولید و گسترش مواد جدید دارند. دسته خاصی از این مواد تحت عنوان مواد تابعی مدرج<sup>۱</sup> (FGM) شناخته شده‌اند که امروزه توجه چشمگیری را به عنوان مواد سازه‌ای پیشرفته به خود معطوف داشته است. مواد تابعی مدرج یا FGM‌ها مواد کامپوزیتی با ریزساختار ناهمگنی می‌باشند که خواص مکانیکی آنها به طور ملایم و پیوسته از یک سطح به سطح دیگر تغییر می‌کند. این خاصیت ویژه به وسیله تغییر یکنواخت در نسبت حجمی مواد تشکیل‌دهنده آنها به دست می‌آید. نوع رایج این مواد ترکیب پیوسته‌ای از فلزات و سرامیک‌ها می‌باشد که از مخلوط نمودن پودر آنها به دست می‌آید به طوری که تغییر فلز و سرامیک از یک سطح به سطح دیگر کاملاً پیوسته صورت می‌گیرد. به‌گونه‌ای که مثلاً یک سطح از جنس سرامیک خالص و سطح دیگر از جنس فلز خالص و بین دو سطح ترکیب پیوسته‌ای از هر دو ماده می‌باشد. از این رو خواص مکانیکی نیز با توجه به نوع ترکیب، تغییرات پیوسته‌ای در جهت ضخامت دارد. این مواد با توجه به پیوستگی ترکیب اجزای تشکیل‌دهنده‌اش دارای خواص مکانیکی مؤثرتری نسبت به مواد کامپوزیت لایه‌ای می‌باشند. نسبت این ترکیب در راستای ضخامت جسم متغیر بوده و چگالی ذرات فلز معلق در بستر سرامیک از سطح فلزی تا سطح سرامیکی توسط یک تابع معین که می‌تواند خطی، غیر خطی یا نمایی باشد، کاهش یا افزایش می‌یابد.

خصوصیات ارتعاشی صفحات ضخیم که از مواد مدرج تابعی ساخته شده‌اند، منافع زیادی برای طراحی مهندسی و تولید دارد. بسیاری از مطالعات قبلی در مورد ارتعاش آزاد صفحات FG بر پایه تئوری‌های ساده تر و یا دو بعدی مانند تئوری کلاسیک صفحات (CLPT)<sup>۲</sup> انجام شده است. در این نظریه‌ها تغییرشکل‌های واقعی صفحات نادیده گرفته شده و فرض می‌شود که در تغییر شکل صفحه، حالت تنفس صفحه‌ای حاکم باشد. این فرضیه‌ها ممکن است برای سطوح باریک (نازک) مناسب باشند اما نتایج خوبی برای صفحات نسبتاً ضخیم و یا ضخیم به همراه نخواهند داشت. یانگ و شن [۱۳] از نظریه کلاسیک صفحات برای مطالعه ارتعاشات آزاد و اجباری

1- Functionally Graded Materials

2- Classical Plate Theory



شکل(۲): ورق مستطیلی از جنس ماده مدرج تابعی تقویت شده با نانولوله های کربنی و سیستم مختصات درنظر گرفته شده برای آن.

در این مطالعه از قانون توانی در راستای ضخامت و روش موری-تاناکا برای محاسبه خواص ورق مذکور استفاده می شود. با این حال این فرمولاسیون آنقدر کلی است که به راحتی می توان از طریق آن دیگر قوانین تغییرات در راستای ضخامت را به آسانی عملی کرد علاوه بر این فرض شده است که نسبت پواسون ثابت و تغییرات ضرایب سختی یا انعطاف پذیری مواد  $C_{ij}$  و چگالی  $\rho$  بر حسب قانون توزیع توانی باشد:

$$C_{ij}(z) = C_{ij}^M + (C_{ij}^C - C_{ij}^M)(z/h)^p, \quad (1)$$

$$\rho(z) = \rho^M + (\rho^C - \rho^M)(z/h)^p, \quad (2)$$

که، بالانویس  $M$  و  $C$  نشان دهنده مؤلفه های فلزی و سرامیک هستند که به ترتیب خواص مواد پائین و بالای صفحه را نشان داده و  $p$  ضریب اندیس توان می باشد. همان گونه که می دانیم معادلات حرکت سه بعدی حاکم بر مسئله با توجه به تئوری الاستیسیته سه بعدی در مختصات دکارتی به صورت زیر نوشته می شوند [۱۳]:

$$\begin{aligned} \frac{\partial \sigma_x}{\partial x} + \frac{\partial \tau_{xy}}{\partial y} + \frac{\partial \tau_{xz}}{\partial z} &= \rho \frac{\partial^2 u}{\partial t^2}, \\ \frac{\partial \tau_{xy}}{\partial x} + \frac{\partial \sigma_y}{\partial y} + \frac{\partial \tau_{yz}}{\partial z} &= \rho \frac{\partial^2 v}{\partial t^2}, \\ \frac{\partial \tau_{xz}}{\partial x} + \frac{\partial \tau_{yz}}{\partial y} + \frac{\partial \sigma_z}{\partial z} &= \rho \frac{\partial^2 w}{\partial t^2}, \end{aligned} \quad (3)$$

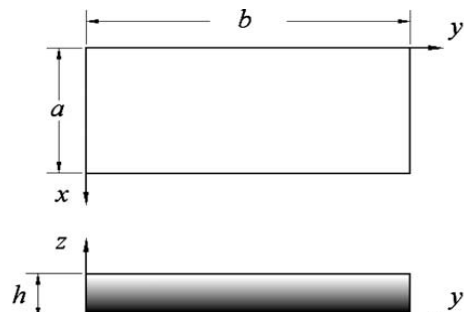
که  $u, v, w$  مؤلفه های جابه جایی در راستای محور های  $x, y$  و  $z$  و  $\sigma_{ij}$  مؤلفه های تانسور تنش می باشند. این مؤلفه ها بر حسب مؤلفه های جابه جایی برای ورق ایزوتروپیک عرضی تقویت شده با نانولوله های کربنی به صورت زیر نوشته می شوند [۹]:

$$\begin{bmatrix} \sigma_x \\ \sigma_y \\ \sigma_z \end{bmatrix} = \begin{bmatrix} C_{11} & C_{12} & C_{12} \\ C_{12} & C_{22} & C_{23} \\ C_{12} & C_{23} & C_{22} \end{bmatrix} \begin{bmatrix} \frac{\partial u}{\partial x} \\ \frac{\partial v}{\partial y} \\ \frac{\partial w}{\partial z} \end{bmatrix}, \quad (4)$$

کسر حجمی آن و درجه هت ضخامت بر طبق قانون توزیع توانی<sup>۱</sup> در نظر گرفته شده و جهت قرار گیری نانولوله ها در امتداد محور  $x$  فرض شده است. معادلات حاکم بر مسئله بر حسب تنش ها بر اساس تئوری الاستیسیته سه بعدی با استفاده از روابط تنش- کرنش و کرنش- تغییر مکان تبدیل به معادلات دیفرانسیل جزئی بر حسب تغییر مکان ها شده و با استفاده از بسط سری مثلثاتی آنها، دستگاه معادلات دیفرانسیل با مشتقه های جزئی به دستگاه معادلات دیفرانسیل معمولی با ضرایب متغیر تبدیل شده است. جواب های فرض شده برای مؤلفه های جابه جایی به صورت سری های مثلثاتی به گونه ای انتخاب شده اند که شرایط مرزی تکیه گاه های ورق برآورده گردد. معادلات و شرایط مرزی حاکم با استفاده از روش دیفرانسیل کوادریچر تعمیم یافته<sup>۲</sup> (GDQ) روش دیفرانسیل کوادریچر تعمیم یافته<sup>۲</sup> (GDQ) گسترش سازی شده و درنهایت با حل مسئله مقدار ویژه فرکانس های سیستم به دست آمدند. با مقایسه جواب های به دست آمده با مراجع دیگر از صحت جواب های به دست آمده اطمینان کافی حاصل شده است.

## ۲- معادلات حاکم

مطابق شکل ۱ ورق مستطیلی از جنس ماده مدرج تابعی (متسلسل از فلز و سرامیک) به ابعاد  $a$ ,  $b$  و ضخامت  $h$  که توسط نانولوله های کربنی چیده شده در جهت  $x$  تقویت شده در نظر گرفته شده است. مطابق آنچه ملاحظه می شود محور های مختصات  $x-y-z$  به گونه ای برای حل مسئله انتخاب شده که مبدأ آن در گوش پایین ورق در نظر گرفته شده است. در شکل ۲ ورق مذکور به همراه تقویت کننده های آن ملاحظه می شود.

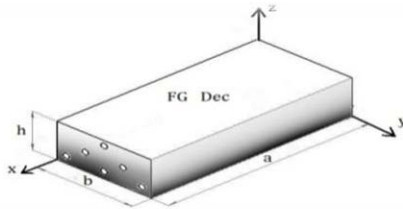


شکل(۱): ورق مستطیلی از جنس ماده مدرج تابعی و مشخصات هندسی آن.

در رابطه (۹)،  $V_{m0}V_{CN}$  به ترتیب کسر حجمی نanolوله‌ها و کسر حجمی ماتریس می‌باشند.

### ۱-۳- توزیع نanolوله‌ها به صورت مدرج تابعی از نوع کاهشی<sup>۳</sup> (FG-Dec)

در مدل کاهشی FG، رابطه کسر حجمی نanolوله‌ها،  $V_{CN}$ ، به صورت زیر نوشته می‌شود:



شکل (۳): توزیع نanolوله‌ها به صورت (FG-Dec) در جهت محور X

$$V_{CN} = \left( \frac{2h - 2z}{h} \right) V_{CN}^*, \quad (10)$$

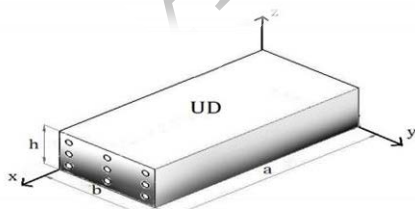
$$V_{CN}^* = \frac{w_{CN}}{w_{CN} + \left( \rho_{CN}/\rho_m \right) - \left( \rho_{CN}/\rho_m \right) w_{CN}}, \quad (11)$$

که در رابطه (۱۱)،  $\rho_m, \rho_{CN}, w_{CN}$  که به ترتیب کسر جرمی نanolوله، دانسیته نanolوله و دانسیته ماتریس می‌باشند.

### ۲-۳- توزیع نanolوله‌ها به صورت کاملاً یکنواخت (UD)

در مدل توزیع یکنواخت UD، رابطه کسر حجمی نanolوله‌ها،

$V_{CN}$ ، به صورت زیر نوشته می‌شود:



شکل (۴): توزیع نanolوله‌ها به صورت (UD) در جهت محور X.

$$V_{CN} = V_{CN}^*, \quad (12)$$

$$\begin{cases} \tau_{yz} \\ \tau_{xz} \\ \tau_{xy} \end{cases} = \begin{cases} C_{44} \left( \frac{\partial v}{\partial z} + \frac{\partial w}{\partial y} \right) \\ C_{66} \left( \frac{\partial w}{\partial x} + \frac{\partial u}{\partial z} \right) \\ C_{66} \left( \frac{\partial u}{\partial y} + \frac{\partial v}{\partial x} \right) \end{cases}, \quad (5)$$

در روابط فوق  $C_{ij}$  ضرایب ماتریس سختی بوده که با توجه به خواص ورق ماتریس و نanolوله‌های کربنی و همچنین با توجه به مقادیر مدول الاستیسیته هیل<sup>۱</sup> محاسبه می‌شوند. اکنون با جایگذاری روابط (۴) و (۵) در روابط (۳) معادلات حرکت بر حسب مؤلفه‌های جابه‌جایی برای ورق FGM تقویت شده می‌تواند به صورت زیر نوشته شود [۱۳]:

$$C_{11} \frac{\partial^2 u}{\partial x^2} + C_{66} \frac{\partial^2 u}{\partial y^2} + \frac{\partial C_{66}}{\partial z} \frac{\partial u}{\partial z} + C_{66} \frac{\partial^2 u}{\partial z^2} + (C_{12} + C_{66}) \frac{\partial^2 v}{\partial x \partial y} +$$

$$\frac{\partial C_{66}}{\partial z} \frac{\partial w}{\partial x} + (C_{12} + C_{66}) \frac{\partial^2 w}{\partial x \partial z} = \rho \frac{\partial^2 u}{\partial t^2}, \quad (6)$$

$$(C_{12} + C_{66}) \frac{\partial^2 u}{\partial x \partial y} + C_{66} \frac{\partial^2 v}{\partial x^2} + C_{22} \frac{\partial^2 v}{\partial y^2} + \frac{\partial C_{44}}{\partial z} \frac{\partial v}{\partial z} + C_{44} \frac{\partial^2 v}{\partial z^2} +$$

$$\frac{\partial C_{44}}{\partial z} \frac{\partial w}{\partial y} + (C_{23} + C_{66}) \frac{\partial^2 w}{\partial x \partial z} = \rho \frac{\partial^2 v}{\partial t^2}, \quad (7)$$

$$\frac{\partial C_{12}}{\partial z} \frac{\partial u}{\partial x} + (C_{12} + C_{66}) \frac{\partial^2 u}{\partial x \partial z} + \frac{\partial C_{23}}{\partial z} \frac{\partial v}{\partial y} +$$

$$(C_{23} + C_{44}) \frac{\partial^2 v}{\partial y \partial z} + C_{66} \frac{\partial^2 w}{\partial x^2} + C_{44} \frac{\partial^2 w}{\partial y^2} +$$

$$\frac{\partial C_{22}}{\partial z} \frac{\partial w}{\partial z} + C_{22} \frac{\partial^2 w}{\partial z^2} = \rho \frac{\partial^2 w}{\partial t^2}, \quad (8)$$

### ۳- مدل کردن نanolوله‌ها به صورت توزیع مدرج تابعی و یکنواخت<sup>۳</sup> (FG) و (UD)

در حالت کلی رابطه زیر بین کسر حجمی نanolوله و کسر حجمی ماتریس برقرار است:

$$V_{CN} + V_m = 1, \quad (9)$$

(۱۷)

## ۴- دستورالعمل حل معادلات حرکت با توجه به شرایط مرزی

$$\begin{aligned} C_{66}\alpha_m\beta_nU + C_{66}\alpha_m^2V + C_{12}\alpha_m\beta_nU + \\ C_{22}\beta_n^2V - C_{23}\beta_n \frac{\partial W}{\partial z} - \frac{\partial C_{44}}{\partial z} \frac{\partial V}{\partial z} - \\ C_{44} \frac{\partial^2 V}{\partial z^2} - \frac{\partial C_{44}}{\partial z} \beta_nW - C_{44}\beta_n \frac{\partial W}{\partial z} = \rho\omega^2V, \end{aligned}$$

$$V_{CN} = V_{CN}^*,$$

$$\begin{aligned} C_{66}\alpha_m^2W + C_{66}\alpha_m \frac{\partial U}{\partial z} + C_{44}\beta_n^2W + \\ \frac{\partial C_{12}}{\partial z} \alpha_mU + C_{12}\alpha_m \frac{\partial U}{\partial z} + \frac{\partial C_{23}}{\partial z} \beta_nV + \\ C_{23}\beta_n \frac{\partial V}{\partial z} - \frac{\partial C_{22}}{\partial z} \frac{\partial W}{\partial z} + C_{44}\beta_n \frac{\partial V}{\partial z} - \\ C_{22} \frac{\partial^2 W}{\partial z^2} = \rho\omega^2W, \end{aligned} \quad (18)$$

## ۵- شرایط مرزی مسئله

شرایط مرزی بر روی سطوح بالا و پایین ورق به صورت عاری از تنفس در نظر گرفته می‌شود:

$$\sigma_z = \tau_{zx} = \tau_{zy} = 0, \text{ at } z=0, h, \quad (19)$$

با جایگذاری روابط (۴) و (۵) در شرایط مرزی (۱۹)، روابط زیر برای سطح  $z=0$  به دست خواهد آمد:

$$C_{12}\alpha_mU + C_{23}\beta_nV - C_{22} \frac{\partial W}{\partial z} = 0, \quad (20)$$

$$C_{44}\beta_nW + C_{44} \frac{\partial V}{\partial z} = 0,$$

$$C_{66}\alpha_mW + C_{66} \frac{\partial U}{\partial z} = 0,$$

به همین ترتیب شرایط مرزی برای  $z=h$  به فرم زیر به دست می‌آید:

$$\begin{aligned} C_{12}\alpha_mU + C_{23}\beta_nV - C_{22} \frac{\partial W}{\partial z} = 0, \\ C_{44}\beta_nW + C_{44} \frac{\partial V}{\partial z} = 0, \\ C_{66}\alpha_mW + C_{66} \frac{\partial U}{\partial z} = 0, \end{aligned} \quad (21)$$

برای حل معادلات حرکت، شرایط مرزی ورق از نوع تکیه‌گاه ساده در لبه‌های  $y=0$ ،  $b$  و  $x=0$  در نظر گرفته می‌شوند: [۱۰]

$$u_{,x} = v = w = 0 \quad x = 0 \& a, \quad (13)$$

$$u = v_{,y} = w = 0 \quad y = 0 \& b, \quad (14)$$

روابط کلی برای مؤلفه‌های جابه‌جایی در تحلیل ارتعاشات آزاد ورق به طوری که شرایط مرزی (۱۳) و (۱۴) را ارضاء کنند، عبارتند از: [۱۰]

$$\begin{aligned} u(x, y, z, t) &= \sum_{n=1}^{\infty} \sum_{m=1}^{\infty} U(z) \cos(\alpha_m x) \sin(\beta_n y) e^{i\omega t}, \\ v(x, y, z, t) &= \sum_{n=1}^{\infty} \sum_{m=1}^{\infty} V(z) \sin(\alpha_m x) \cos(\beta_n y) e^{i\omega t}, \\ w(x, y, z, t) &= \sum_{n=1}^{\infty} \sum_{m=1}^{\infty} W(z) \sin(\alpha_m x) \sin(\beta_n y) e^{i\omega t}, \\ \alpha_m &= \frac{m\pi}{a} (m = 1, 2, \dots) \text{ and } \beta_n = \frac{n\pi}{b} (n = 1, 2, \dots), \end{aligned} \quad (15)$$

که،  $m$  عدد موج<sup>۱</sup> در راستای محور  $x$ ،  $n$  عدد موج<sup>۲</sup> در راستای محور  $y$ ،  $\omega$  فرکانس طبیعی و  $i = \sqrt{-1}$  می‌باشند.

با جایگذاری مؤلفه‌های جابه‌جایی از معادله (۱۵) در معادلات (۶)-(۸) و ساده‌سازی آنها معادلات ذیل به دست می‌آید:

$$\begin{aligned} C_{11}\alpha_m^2U + C_{12}\alpha_m\beta_nV - C_{12}\alpha_m \frac{\partial W}{\partial z} + \\ \beta_n^2C_{66}U + C_{66}\alpha_m\beta_nV - \frac{\partial C_{66}}{\partial z} \alpha_mW - \\ C_{66}\alpha_m \frac{\partial W}{\partial z} - \frac{\partial C_{66}}{\partial z} \frac{\partial U}{\partial z} - C_{66} \frac{\partial^2 U}{\partial z^2} = \rho\omega^2U, \end{aligned} \quad (16)$$

1- Wave Number Along x Direction

2- Wave Number Along y Direction

$$\begin{aligned} C_{12}\alpha_m U_1 + C_{23}\beta_n V_1 - C_{22} \sum_{k=1}^N A_{ik}^z W_k &= 0, \\ C_{44}\beta_n W_1 + C_{44} \sum_{k=1}^N A_{ik}^z V_k &= 0, \end{aligned} \quad (25)$$

$$C_{66}\alpha_m W_1 + C_{66} \sum_{k=1}^N A_{ik}^z U_k = 0,$$

شرط مرزی در  $z=h$ ,  $i=N$  به شکل زیر گسته‌سازی می‌شوند:

$$\begin{aligned} C_{12}\alpha_m U_N + C_{23}\beta_n V_N - C_{22} \sum_{k=1}^N A_{ik}^z W_k &= 0, \\ C_{44}\beta_n W_N + C_{44} \sum_{k=1}^N A_{ik}^z V_k &= 0, \end{aligned} \quad (26)$$

که،  $A_{ij}^z$  ضریب وزنی مشتق مرتبه اول می‌باشد.  
به منظور استخراج سیستم معادلات مقدار ویژه<sup>۱</sup>، متغیرها در تمام دامنه محاسباتی به دو بخش تقسیم می‌شوند.  
متغیرهای بخش اول شامل نقاط داخلی<sup>۲</sup> می‌باشند که با زیر نویس  $d$  مشخص می‌شوند:

$$\{d\} = \{\{U_d\}, \{V_d\}, \{W_d\}\}^T, \quad (27)$$

متغیرهای با قیمانده که شامل متغیرها در مرزها<sup>۳</sup> می‌باشند با زیرنویس  $b$  اندیس‌گذاری می‌شوند:

$$\{b\} = \{\{U_b\}, \{V_b\}, \{W_b\}\}^T, \quad (28)$$

با تعاریف بالا معادلات حرکت (۲۲) – (۲۴) را می‌توانیم فرم زیر باز نویسی نمود:

$$\begin{aligned} [K_{db}] \{b\} + [K_{dd}] \{d\} &= \omega^2 [M] \{d\}, \\ [[K_{db}] [K_{dd}]] \begin{Bmatrix} \{b\} \\ \{d\} \end{Bmatrix} - \omega^2 [M] \{d\} &= \{0\}, \end{aligned} \quad (29)$$

به طور مشابه شرایط مرزی (۲۵) و (۲۶) را نیز می‌توان به فرم زیر نوشت:

$$[K_{bd}] \{d\} + [K_{bb}] \{b\} = \{0\}, \quad (30)$$

در این مرحله با اعمال روش دیفرانسیل کوادیچر تعمیم یافته، معادلات حرکت (۱۶) – (۱۸) گسته‌سازی می‌شوند.  
این کار در هر نقطه از شبکه‌ای با  $i=1, \dots, N-1$  نقطه انجام می‌شود:

$$\begin{aligned} (C_{11}\alpha_m^2 + C_{66}\beta_n^2) U_i + (C_{12} + C_{66}) \alpha_m \beta_n V_i - \\ \frac{\partial C_{66}}{\partial z} \alpha_m W_i - \sum_{k=1}^N \frac{\partial C_{66}}{\partial z} A_{ik}^z U_k - \\ C_{66} \sum_{k=1}^N B_{ik}^z U_k - C_{12} \alpha_m \sum_{k=1}^N A_{ik}^z W_k - \end{aligned} \quad (22)$$

$$\begin{aligned} C_{66} \alpha_m \sum_{k=1}^N A_{ik}^z W_k &= \rho_i \omega^2 U_i, \\ (C_{66} + C_{12}) \alpha_m \beta_n U_i + \\ (C_{66}\alpha_m^2 + C_{22}\beta_n^2) V_i - \frac{\partial C_{44}}{\partial z} \beta_n W_i - \\ \sum_{k=1}^N \left( \frac{\partial C_{44}}{\partial z} A_{ik}^z + C_{44} B_{ik}^z \right) V_k - \end{aligned} \quad (23)$$

$$\begin{aligned} (C_{23} + C_{44}) \sum_{k=1}^N \beta_n A_{ik}^z W_k &= \rho_i \omega^2 V_i, \\ \frac{\partial C_{12}}{\partial z} \alpha_m U_i + \frac{\partial C_{23}}{\partial z} \beta_n V_i + \\ (C_{66}\alpha_m^2 + C_{44}\beta_n^2) W_i + \\ (C_{12} + C_{66}) \alpha_m \sum_{k=1}^N A_{ik}^z U_k + \\ (C_{23} + C_{44}) \beta_n \sum_{k=1}^N A_{ik}^z V_k - \end{aligned} \quad (24)$$

که،  $A_{ik}^z$  و  $B_{ik}^z$  به ترتیب ضرایب وزنی مشتق مرتبه اول و دوم می‌باشند. با اعمال روش دیفرانسیل کوادیچر تعمیم یافته در  $z=h$ ,  $z=0$ ,  $i=1$  و (۲۱) و (۲۲)، شرایط مرزی در  $i=N$  به شکل زیر گسته‌سازی می‌شوند.  
شرط مرزی در  $z=0$ ,  $i=1$  به شکل زیر گسته‌سازی می‌شوند:

1- Eigenvalue Equation System

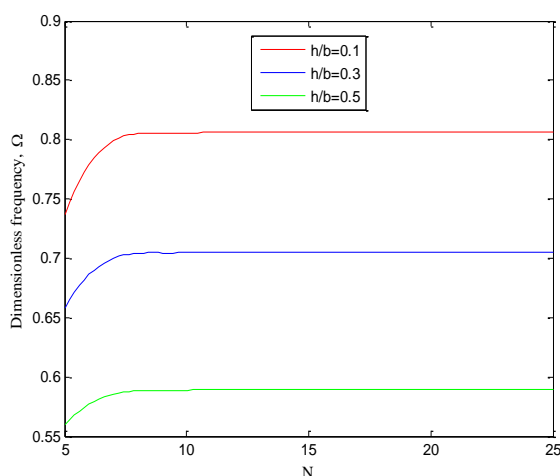
2- Domain

3- Boundary

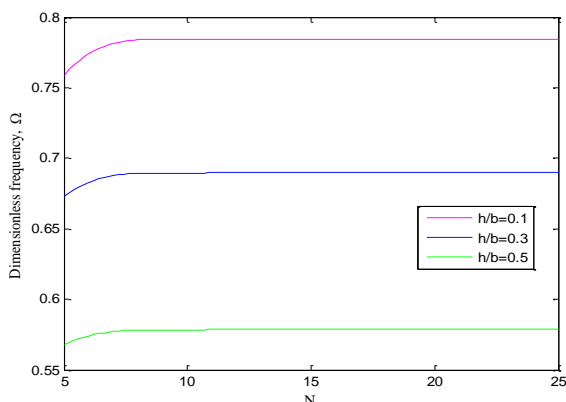
$$D^C = E^C h^3 / 12(1 - \nu^2), \quad (35)$$

که،  $b$  عرض ورق،  $h$  ضخامت ورق و  $\omega$  فرکانس طبیعی ورق می باشد.

برای اعتبار بخشیدن به تحقیق انجام شده، پارامتر فرکانس ورق تابعی مدرج (FGM) به دست آمده از روش حاضر، با نتایج مقالات مرجع در جدول ۱ و ۲ ارائه و مقایسه شده اند. همان طور که مشاهده می شود نتایج به دست آمده از دقت بسیار بالایی در مقایسه با نتایج مقالات مرجع برخوردار می باشد.



شکل (۵): همگرایی و پایداری پارامتر فرکانس اساسی ورق بر FG مبنی بر ازای توزیع نقاط مختلف برای حالت  $V_{CN}^* = 0.12$ ,  $P=1$ ,  $a/b=1$ ,  $(m,n)=(1,0)$



شکل (۶): همگرایی و پایداری پارامتر فرکانس اساسی ورق بر UD مبنی بر ازای توزیع نقاط مختلف برای حالت  $V_{CN}^* = 0.12$ ,  $P=1$ ,  $a/b=1$ ,  $(m,n)=(1,0)$

$$\{b\} = -[K_{bb}]^{-1} [K_{bd}] \{d\}, \quad (31)$$

با جایگذاری رابطه (۳۱) در (۲۹) مسئله مقدار ویژه به فرم کلی زیر نتیجه می شود [۹]:

$$([K] - \omega^2 [M]) \{d\} = \{0\}, \quad (32)$$

که در آن:

$$[K] = [K_{dd}] - [K_{db}] [K_{bb}]^{-1} [K_{bd}], \quad (33)$$

ابعاد ماتریس های  $[K_{bd}]$ ,  $[K_{bb}]$ ,  $[K_{db}]$ ,  $[K_{dd}]$  و  $[K_{bd}]$  به  $6 \times 3(N-2)$ ,  $3(N-2) \times 6$ ,  $3(N-2) \times 3(N-2)$  و  $(N-2) \times 6$  ترتیب  $(32)$  دارند. به این ترتیب سیستم معادلات مقدار ویژه به دست می آید. با استفاده از نرم افزار MATLAB، معادله (۳۲) حل شده و برنامه مناسب جهت بدست آوردن فرکانس های طبیعی ورق تابعی مدرج تقویت شده با نانولوله های کربنی، توسعه داده شده است.

## ۶-نتایج عددی

برای حل مثال عددی خواص مکانیکی ورق تابعی مدرج (FGM) به صورت زیر در نظر گرفته شده است [۹]:

Metal(Aluminum,AL):

$$E^M = 70 \times 10^9 \text{ (N/m}^2\text{)},$$

$$\rho^M = 2702 \text{ (Kg/m}^3\text{)}, \nu = 0.3,$$

Ceramic(Almina , $\text{Al}_2\text{O}_3$ ):

$$E^C = 380 \times 10^9 \text{ (N/m}^2\text{)},$$

$$\rho^C = 3800 \text{ (Kg/m}^3\text{)}, \nu = 0.3,$$

پارامتر فرکانسی بی بعد،  $\Omega_i$ ، با روابط (۳۴) و (۳۵) تعریف می شود [۱۰]:

$$\Omega_i = \frac{\omega_i b^2}{\pi^2} \sqrt{\rho^C h / D^C}, \quad (34)$$

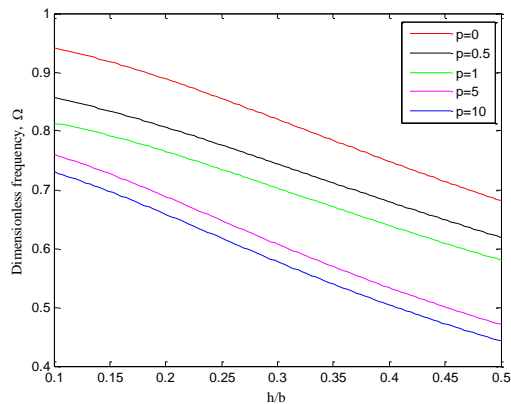
که در آن:

جدول (۱): مقایسه پارامتر فرکانسی برای ورق FGM با تکیه‌گاه SSSS به ازای مقادیر مختلف  $a/h$  در عدد موج (۱,۰) و  $a/b=1, m,n=1,0$ .

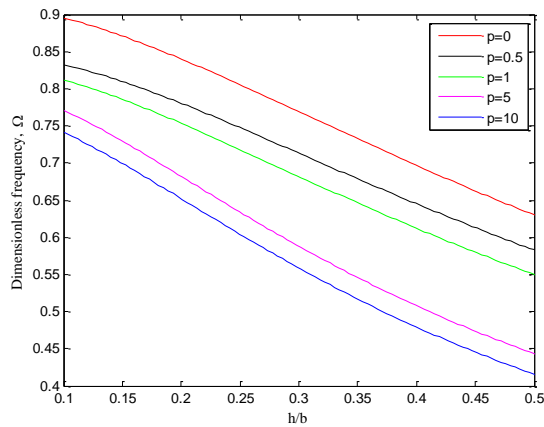
Method	$a/h$	Mode(m,n)	Powerlow index (p)			
			$P=-\cdot$	$P=-1/5$	$P=1$	$P=4$
present	۲	(۰ و ۱)	۰/۵۵۷۲۴۲۱۶۳	۰/۴۸۲۹۳۵۰۹۹	۰/۴۳۷۳۹۴۹۲۴	۰/۳۵۷۷۵۴۱۹۰
Ref.[۹]			۰/۵۵۷۲	۰/۴۸۲۹	۴۳۷۰/۰	۰/۳۵۷۷
Ref.[۱۰]			۰/۵۵۷۲	۰/۴۸۳۵	۰/۴۳۷۵	۰/۳۵۷۹
present	۵	(۰ و ۱)	۰/۱۱۲۰۴۷۷۸۴	۰/۰۹۵۴۸۱۹۴۰	۰/۰۸۶۱۲۱۰۴۵	۰/۰۷۳۵۴۲۲۵۷
Ref.[۱۰]			۰/۱۱۲۰	۰/۰۹۵۶۳	۰/۰۸۶۱۴	۰/۰۷۳۵۶
present	۱۰	(۰ و ۱)	۰/۰۲۹۳۶۰۴۰۶	۰/۰۲۴۹۱۱۹۷۲	۰/۰۲۲۴۵۳۳۳۰	۰/۰۱۹۴۱۷۸۳۶
Ref.[۱۰]			۰/۰۲۹۳۶	۰/۰۲۴۹۵	۰/۰۲۲۴۶	۰/۰۱۹۴۲

جدول (۲): مقایسه پارامتر فرکانسی برای ورق FGM با تکیه‌گاه SSSS به ازای مقادیر مختلف  $a/h$  در عدد موج (۱,۱) و  $a/b=1, m,n=1,1$ . $a/b=1$ 

Method	$a/h$	Mode(m,n)	Powerlow index (p)			
			$P=-\cdot$	$P=-1/5$	$P=1$	$P=4$
present	۲	(۱ و ۱)	۰/۹۴۰۰۴۰۵۷۸	۰/۸۲۲۵۲۶۶۲۶	۰/۷۴۷۵۱۳۷۸۸	۰/۵۹۹۴۸۷۱۷۵
Ref.[۱۰]			۰/۹۴۰۰	۰/۸۲۳۳	۰/۷۴۷۷	۰/۵۹۹۷
Present	۵	(۱ و ۱)	۰/۲۱۲۱۴۴۵۸۱	۰/۱۸۱۶۱۲۶۲۶	۰/۱۶۳۹۵۶۵۴۰	۰/۱۳۸۲۳۳۳۰
Ref.[۱۰]			۰/۲۱۲۱	۰/۱۸۱۹	۰/۱۶۴۰	۰/۱۳۸۳
Ref.[۱۴]			۰/۲۱۱۲	۰/۱۸۰۶	۰/۱۶۵۰	۰/۱۳۷۱
Ref.[۱۸]			۰/۲۱۱۳	۰/۱۸۰۷	۰/۱۶۳۱	۰/۱۳۷۸
present	۱۰	(۱ و ۱)	۰/۰۵۷۷۶۹۱۲۸۲	۰/۰۴۹۰۹۲۰۱۰۵	۰/۰۴۴۲۵۷۸۷۱۱	۰/۰۳۸۰۹۹۱۳۲۳
Ref.[۱۰]			۰/۰۵۷۷۷	۰/۰۴۹۱۷	۰/۰۴۴۲۷	۰/۰۳۸۱۱
Ref.[۱۴]			۰/۰۵۷۷	۰/۰۴۹۲	۰/۰۴۴۵	۰/۰۳۸۳
Ref.[۱۸]			۰/۰۵۷۷	۰/۰۴۹۰	۰/۰۴۴۲	۰/۰۳۸۱



شکل (۸): تغییرات پارامتر فرکانسی بر حسب  $h/b$  برای ورق FG,  $V_{CN}^*=0.17$ ,  $a/b=1$ ,  $(m,n)=(1,0)$  مربعی



شکل (۹): تغییرات پارامتر فرکانسی بر حسب  $h/b$  برای ورق FG,  $V_{CN}^*=0.28$ ,  $a/b=1$ ,  $(m,n)=(1,0)$  مربعی

## ۲-۷- بررسی اثر ضریب اندیس توزیع توانی بر پارامتر فرکانسی برای ورق مستطیلی $a/b=2$

در شکل های ۱۰-۱۲ پارامترهای فرکانسی براساس تغییر اندیس توزیع توانی و تغییرات کسر حجمی برای ورق مستطیلی  $a/b=2$  مورد بررسی و تحلیل قرار گرفته است. همان‌طور که مشاهده می‌شود با افزایش اندیس توزیع توانی،  $p$ ، پارامتر فرکانس کاهش یافته و با افزایش نسبت  $h/b$  در حالت  $p > 1$  بیشتر از حالت  $p < 1$  است که این موضوع به علت تأثیر خواص ورق ماتریس یا زمینه می‌باشد. همچنانی مشاهده می‌شود که با افزایش کسر حجمی ورق ماتریس مقدار پارامتر فرکانسی کاهش یافته است.

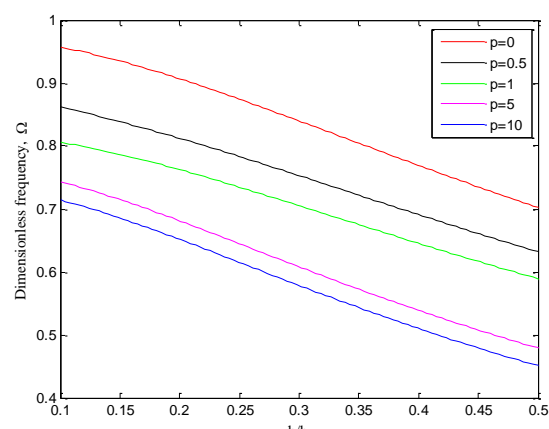
در این قسمت به بررسی همگرایی و پایداری پارامتر فرکانسی Chebyshev-Gauss-Lobatto برای توزیع نانولوله‌ها در دو حالت توزیع تابعی (FG) و حالت توزیع یکنواخت (UD) پرداخته شده است. در شکل ۵ و ۶ همگرایی و دقت فرکانس طبیعی بی‌بعد بر حسب مقادیر مختلف  $h/b$ , به ازای تعداد نقاط مشخص در راستای ضخامت ورق نشان داده شده است. همان‌گونه که مشاهده می‌شود با افزایش تعداد نقاط منحنی همگرا شده و تغییر تعداد نقاط تأثیری در دقت جواب‌ها نخواهد داشت.

## ۷- بررسی پارامتر فرکانسی برای عدد موج $(1,0)$ با تغییر در پارامترهای مختلف مسئله

در این قسمت به بررسی تأثیر ضریب اندیس توانی در ورق های مربعی و مستطیلی با ضخامت های مختلف بر پارامتر فرکانس برای عدد موج  $(1,0)$  پردازیم.

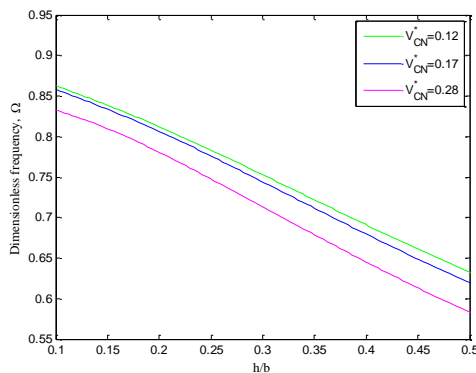
## ۱-۷- بررسی اثر ضریب اندیس توزیع توانی بر پارامتر فرکانسی برای ورق مربعی $a/b=1$

در شکل های ۸، ۷ و ۹ پارامترهای فرکانسی براساس تغییر ضریب اندیس توزیع توانی و تغییرات کسر حجمی برای ورق مربعی مورد بررسی و تحلیل قرار گرفته است. همان‌طور که مشاهده می‌شود با افزایش اندیس توزیع توانی،  $p$ , پارامتر فرکانس کاهش یافته و با افزایش نسبت  $h/b$  در حالت  $p > 1$  بیشتر از حالت  $p < 1$  است که این موضوع به علت تأثیر خواص ورق ماتریس یا زمینه می‌باشد. همچنانی مشاهده می‌شود که با افزایش کسر حجمی ورق ماتریس مقدار پارامتر فرکانسی کاهش یافته است.



شکل (۷): تغییرات پارامتر فرکانسی بر حسب  $h/b$  برای ورق FG,  $V_{CN}^*=0.12$ ,  $a/b=1$ ,  $(m,n)=(1,0)$  مربعی

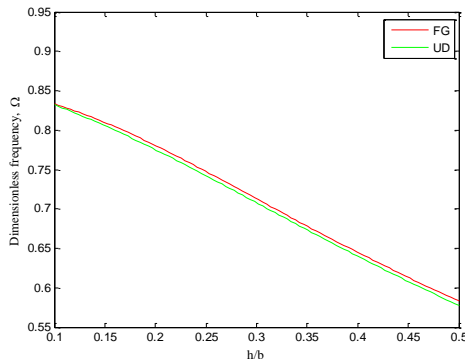
ملاحظه‌ای را در فرکانس بی بعد ورق می‌توان ملاحظه کرد. افزایش کسر حجمی مقدار فرکانس کاهش می‌یابد. با بررسی دقیق‌تر نمودارهای ترسیم شده می‌توان گفت که کاهش فرکانس بی بعد ورق در تغییرات کسر حجمی از ۰/۱۷ تا ۰/۲۸ و محسوس‌تر از محدوده تغییرات آن از ۰/۱۲ تا ۰/۱۷ می‌باشد.



شکل (۱۳): تغییرات پارامتر فرکانسی بر حسب  $h/b$  برای ورق مربعی در مقادیر مختلف کسر حجمی  $FG, P=0.5, a/b=1, (m,n)=(1,0)$

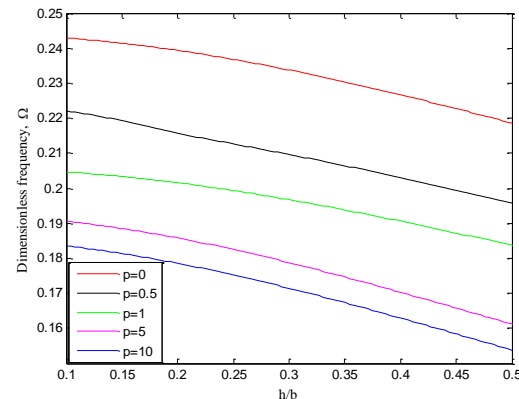
#### ۹- مقایسه تأثیر توزیع نanolوله‌ها به صورت FG و UD بر پارامتر فرکانسی

اثر توزیع Nanolوله‌های تک‌جاده (SWCNTS) به صورت تابعی مدرج (FG) و یکنواخت (UD) بر روی پارامتر فرکانسی به ازای عدد موج (۰ و ۱) در شکل ۱۴ ارائه گردیده است. همان‌طور که مشاهده می‌شود مقدار پارامتر فرکانسی در توزیع Nanolوله‌ها به فرم FG بیشتر از حالت UD شده است.

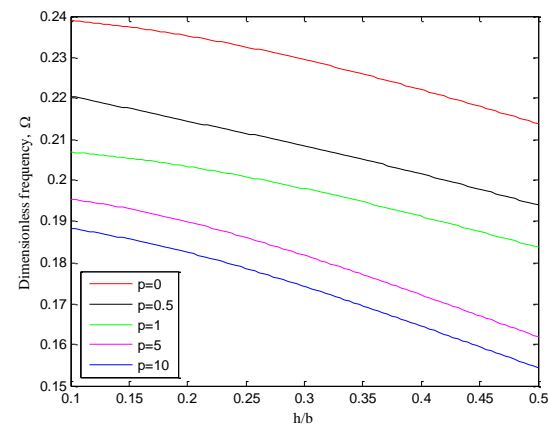


شکل (۱۴): تغییرات پارامتر فرکانسی بر حسب  $h/b$  برای توزیع Nanolوله‌ها به صورت FG و UD,  $V_{CN}=0.12, P=0.5, a/b=1, (m,n)=(1,0)$

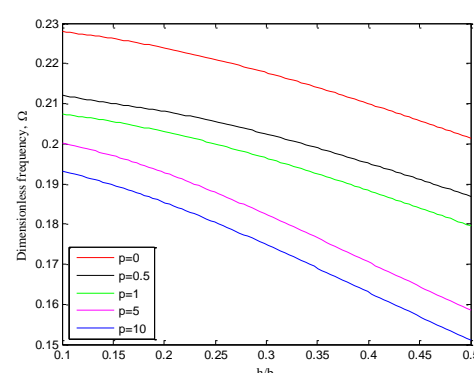
#### ۱۰- مقایسه تأثیر اعداد موج بر پارامتر فرکانسی در نمودارهای ۱۵-۲۰ تأثیر اعداد موج (۱، ۲، ۱) و (۰، ۱) در کسرهای حجمی ۰/۱۲، ۰/۱۷ و ۰/۲۸ مورد بررسی



شکل (۱۰): تغییرات پارامتر فرکانسی بر حسب  $h/b$  برای ورق مستطیلی  $FG, V_{CN}=0.12, a/b=2, (m,n)=(1,0)$

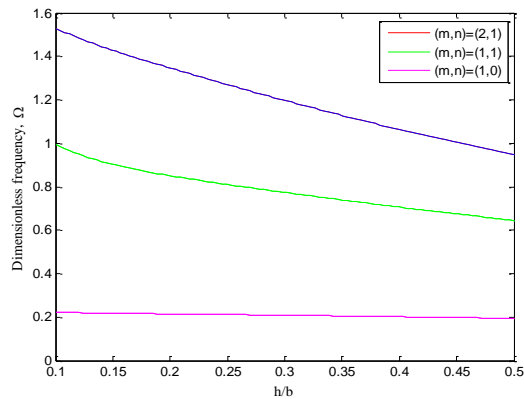


شکل (۱۱): تغییرات پارامتر فرکانسی بر حسب  $h/b$  برای ورق مستطیلی  $FG, V_{CN}=0.17, a/b=2, (m,n)=(1,0)$

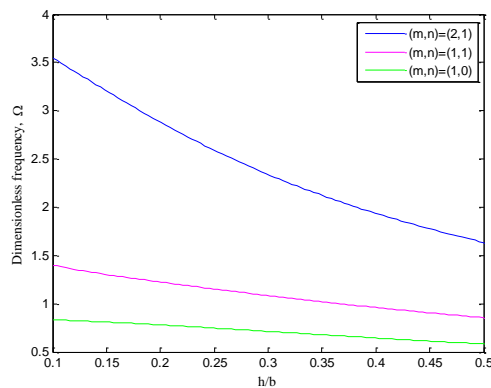


شکل (۱۲): تغییرات پارامتر فرکانسی بر حسب  $h/b$  برای ورق مستطیلی  $FG, V_{CN}=0.28, a/b=2, (m,n)=(1,0)$

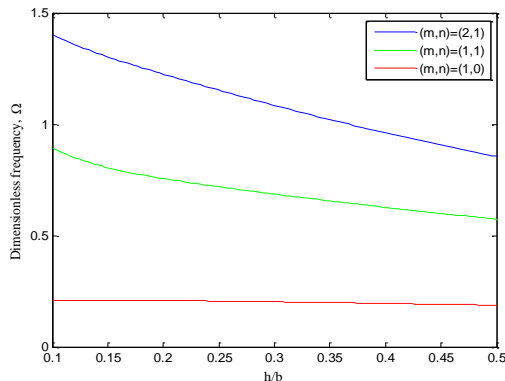
۸- بررسی اثر کسر حجمی Nanolوله‌ها بر پارامتر فرکانسی همان‌گونه که در شکل ۱۳ ملاحظه می‌شود با افزایش کسر حجمی Nanolوله‌ها مقدار فرکانس بی بعد ورق کاهش می‌یابد. همچنین با افزایش نسبت کسر  $h/b$  نیز کاهش قابل



شکل (۱۸): تغییرات پارامتر فرکانسی بر حسب  $h/b$  برای  
ورق مستطیلی  $FG, V_{CN}^*=0.17, P=0.5, a/b=2$



شکل (۱۹): تغییرات پارامتر فرکانسی بر حسب  $h/b$  برای ورق  
 $FG, V_{CN}^*=0.28, P=0.5, a/b=1$  مربعی

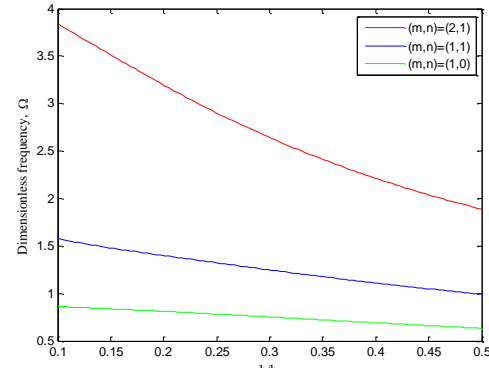


شکل (۲۰): تغییرات پارامتر فرکانسی بر حسب  $h/b$  برای ورق  
مستطیلی  $FG, V_{CN}^*=0.28, P=0.5, a/b=1$

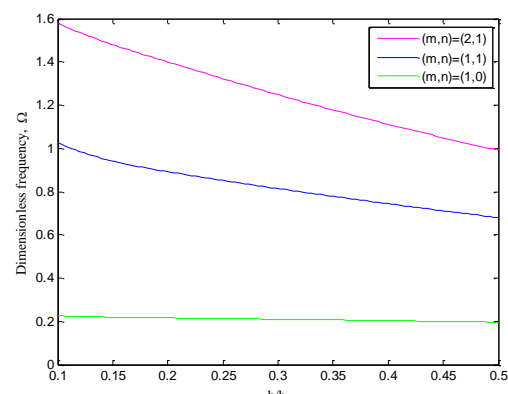
## ۱۱- نتیجه گیری

در این مقاله، تحلیل ارتعاشات آزاد ورق تابعی مدرج (FGM) تقویت شده با نانولوله های کربنی تک جداره با شرایط مرزی،

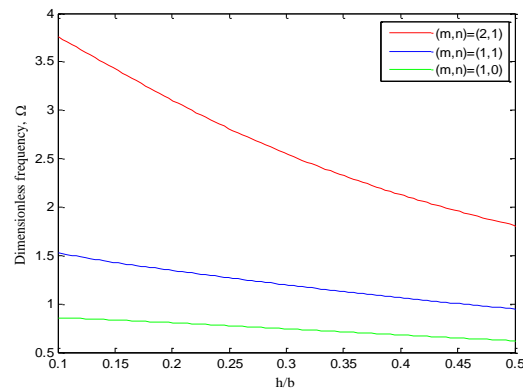
قرار گرفته است. همان گونه که ملاحظه می شود با افزایش عدد موج، مقدار فرکانس بی بعد افزایش داشته به طوری که بیشترین مقدار تغییرات پارامتر فرکانس مربوط به عدد موج (۲,۱) در کسر حجمی  $12/0$  و کمترین مقدار آن مربوط به عدد موج (۱,۰) در کسر حجمی  $28/0$  می باشد.



شکل (۱۵): تغییرات پارامتر فرکانسی بر حسب  $h/b$  برای  
ورق مربعی  $FG, V_{CN}^*=0.12, P=0.5, a/b=1$



شکل (۱۶): تغییرات پارامتر فرکانسی بر حسب  $h/b$  برای ورق  
مستطیلی  $FG, V_{CN}^*=0.12, P=0.5, a/b=2$



شکل (۱۷): تغییرات پارامتر فرکانسی بر حسب  $h/b$  برای ورق  
مربعی  $FG, V_{CN}^*=0.17, P=0.5, a/b=1$

## ۱۲- مراجع

- Yang, J. and Shen, H.S. "Dynamic Response of Initially Stressed Functionally Graded Rectangular Thin Plates", *J. Composite Structures*, Vol. 54, No. 4, pp. 497-508, 2001.
- Ghugal, Y.M. and Shimpi, R.P. "A Review of Refined Shear Deformation Theories of Isotropic and Anisotropic Laminated Plates", *J. Reinforced Plastics and Composites*, Vol. 21, No. 9, pp. 775-813, 2002.
- Batra, R.C. and Jin, J. "Natural Frequencies of a Functionally Graded Anisotropic Rectangular Plate", *J. Sound and Vibration*, Vol. 282, No's. 1-2, pp. 509-516, 2005.
- Chen, Z.Q. and Batra, R.C. "Exact Correspondence Between Eigenvalues of Membranes and Functionally Graded Simply Supported Polygonal Plates", *J. Sound and Vibration*, Vol. 229, No. 4, pp. 879-895, 2000.
- Yang, J. and Shen, H.S. "Vibration Characteristics and Transient Response of Shear Deformation Functionally Graded Plates in Thermal Environment", *J. Sound and Vibration*, Vol. 255, No. 3, pp. 579-602, 2002.
- Qian, L.F., Batra, R.C., and Chen, L.M. "Static and Dynamic Deformations of Thick Functionally Graded Elastic Plates by Using Higher-Order Shear and Meshless Local Petrov-Galerkin Method", *J. Composite Part B: Engaineering*, Vol. 35, No's. 6-8, pp. 685-697, 2004.
- Khdeir, A.A. and Reddy, J.N. "Dynamic Response of Antisymmetric Angle-Ply Laminated Plates Subjected to Arbitrary Loading", *J. Sound and Vibration*, Vol. 126, No. 3, pp. 437-445, 1988.
- Roque, C.M.C., Ferreira, A.J.M. and Jorge, R.M.N. "A Radial basis Function Approach for the Free vibration Analysis of Functionally Graded Plates using a Refined Theory", *J. Sound and Vibration*, Vol. 300, No's. 3-5, pp. 1048-1070, 2007.
- Malekzadeh, P. "Three-Dimensional Free Vibration Analysis of Thick Functionally Graded Plates on Elastic Foundations", *J. Composite Structures*, Vol. 89, No. 3, pp. 367-373 ,2009.
- Matsunaga, H. "Free Vibration and Stability of Functionally Graded Plates Accordingto a 2-D Higher-Order Deformation Theory", *J. Composite Structures*, Vol. 82, No. 4, pp. 499-512, 2008.
- Woo, J., Meguid, S.A., and Ong, L.S. "Nonlinear Free Vibration Behavior of Functionally Graded Plates", *J. Sound and Vibration*, Vol. 289, No. 3, pp. 595-611, 2006.
- Hosseini Hashemi, S. and Arsanjani, M. "Exact Characteristic Equationfor Some of Classical Boundary Conditions of Vibrating Moderately Thick Rectangular Plates", *Int. J. Solids and Structures*, Vol. 42, No. 4, pp. 819-853, 2005.
- Yas, M.H. and Sobhani, B. "Free Vibration Analysis of Continuous Grading Fiber Reinforced Plate on Elastic Foundation", *Int. J. Engineering Science*, Vol. 48, No. 12, pp. 1881-1895, 2009.
- Hosseini Hashemi, S., Rokni Damavandi Taher, H., Akavan, H., and Omidi, M. "Free Vibration of Thick Functionally Graded Rectangular Plates Using First-

تکیه‌گاه ساده براساس تئوری الاستیسیته سه بعدی با استفاده از روش دیفرانسیل کوادریچر مورد بررسی قرار گرفته است، نتایج زیر قابل جمع‌بندی و ارائه می‌باشد:

- با افزایش عدد موج  $(m,n)$  برای مقادیر مشخص از نسبت کسر  $h/b$ ، فرکانس بی بعد ورق افزایش می‌یابد،
- در مقادیر مشخص از نسبت کسر  $h/b$  فرکانس بی بعد ورق مربعی از فرکانس بی بعد ورق مستطیلی بیشتر می‌باشد،
- با افزایش نسبت  $h/b$ ، فرکانس بی بعد ورق مربعی تغییرات بیشتری نسبت به ورق مستطیلی داشته است،
- با افزایش ضریب انديس توان،  $p$ ، در اعداد موج مختلف، مقدار فرکانس بی بعد کاهش می‌یابد،
- با افزایش ضریب انديس توان،  $p$ ، در هر دو حالت از توزيع نانولوله‌ها مقدار فرکانس بی بعد ورق کاهش می‌یابد که این کاهش فرکانس در حالت توزيع يکنواخت نانولوله‌ها بیشتر از حالت توزيع تابعی مدرج است،
- با افزایش ضریب انديس توانی،  $p$ ، و افزایش نسبت کسر  $h/b$ ، مقدار تغییرات فرکانس بی بعد برای ضریب انديس توانی  $0 \leq p \leq 1$  کمتر از محدوده  $p > 1$  است،
- در مقادیر مشخص از نسبت کسر  $h/b$ ، با افزایش کسر حجمی نانولوله‌ها در هر دو حالت از توزيع نانو لوله‌ها (حالت يکنواخت و حالت مدرج تابعی) فرکانس بی بعد سیستم کاهش یافته است،
- در مقادیر مشخص از نسبت کسر  $h/b$ ، با افزایش کسر حجمی نانولوله‌ها بهصورت توزيع يکنواخت و مدرج تابعی، فرکانس بی بعد کاهش می‌یابد،
- در مقادیر مشخص از عدد موج  $(m,n)$ ، مقدار فرکانس بی بعد برای توزيع نانولوله‌ها بهصورت تابعی مدرج بیشتر از حالت توزيع يکنواخت آنها است،
- با افزایش ضریب انديس توان،  $p$ ، مقدار فرکانس بی بعد برای توزيع نانولوله‌ها بهصورت تابعی مدرج بیشتر از حالت توزيع يکنواخت است،
- در عدد موج  $(m,n) = (1,1)$ ، با افزایش نسبت کسر  $h/b$  کاهش مقدار اختلاف فرکانس بین دو حالت توزيع تابعی مدرج و توزيع يکنواخت بیشتر از دو عدد موج  $(m,n) = (1,0)$  و  $(0,1)$  است و  $(m,n) = (0,0)$  بیشترین مقدار فرکانس بی بعد مربوط به عدد موج  $(m,n) = (2,0)$  در کسر حجمی  $0/12$  و کمترین مقدار آن  $(m,n) = (0,2)$  در کسر حجمی  $0/28$  مربوط به عدد موج  $(0,0)$  در کسر حجمی  $0/28$  می‌باشد که این موضوع در مسائل طراحی می‌تواند مدنظر قرار گیرد.

(A.1)

$$\frac{\partial^n f(x_i)}{\partial x^n} = \sum_{j=1}^N A_{ij}^n f(x_j), i = 1, \dots, N,$$

$$n = 1, \dots, N-1,$$

در این معادله،  $N$  تعداد نقاط شبکه،  $n$  مرتبه مشتقگیری و

$$A_{ij}$$
 ضرایب وزنی است.

برای تعیین ضرایب وزنی، لازم است تعداد نقاط شبکه برابر با تعداد توابع آزمایشی باشد. این توابع یک جمله‌ای‌های یک چندجمله‌ای با یک درجه کمتر از تعداد نقاط شبکه هستند. علاوه بر این «کامل بودن» توابع آزمایشی ایجاب می‌نماید، حداقل تعداد نقاط شبکه مساوی با بزرگ‌ترین درجه مشتق نسبت به متغیر در معادله دیفرانسیل، به علاوه یک باشد.

ضرایب وزنی با درونیابی لارگانز قابل محاسبه‌اند، که این ضرایب به صورت زیر می‌باشد:

$$A_{ij}^{(1)} = \frac{M(x_i)}{(x_i - x_j) M(x_j)},$$

$$i, j = 1, \dots, N, \text{ and } j \neq i,$$

$$A_{ij}^k = k \left[ A_{ii}^{(k-1)} \cdot A_{ij}^{(1)} - \frac{A_{ij}^{(k-1)}}{x_i - x_j} \right], \quad 2 \leq k \leq N-1,$$

$$A_{ii}^m = - \sum_{j=1, j \neq i}^N A_{ij}^m, \quad m = 1, \dots, N-1,$$

$$M(x_i) = \prod_{j=1, j \neq i}^N (x_i - x_j) \quad (\text{A.2})$$

انتخاب نقاط شبکه و چگونگی توزیع آنها از عوامل مهم و مؤثر در بازده روش دیفرانسیل کوادریچر است. در حقیقت دقت این روش به گستردگی نقاط شبکه بسیار حساس است. توزیع بهینه نقاط شبکه به مرتبه مشتق در شرایط مرزی و تعداد نقاط شبکه وابسته است. توزیع نقاط شبکه نقش حیاتی در بهدهست آوردن سرعت همگرایی و پایداری روش دیفرانسیل کوادریچر تعیین یافته بازی می‌کند. عموماً توزیع غیریکنواخت شبکه نسبت به توزیع یکنواخت آن نتایج بهتری را به همراه دارد. برتر و مالک (۱۹۹۶) نشان دادند توزیع نقاط شبکه با توجه به مسئله فرق می‌کند و پیشنهاد کردند که برای مسائل مکانیک سازه‌ای از روش Chebyshev-Gauss-Lobatto برای توزیع نقاط شبکه استفاده شود. نقاط نمونه Chebyshev-Gauss-Lobatto توسط رابطه زیر تعریف می‌شوند (C-G-L):

Order Shear Deformation Plate Theory”, J. Appl. Math. Model, Vol. 34, No. 5, pp. 1276-1291, 2004.

15. Shu, C. “Differential Quadratureand Its Application in Engineering”, Springer, Berlin, 2000.

16. Dong Li, Sh. and Yonggana, Y.H. “The Effect of Nanotube Waviness and Agglomeration on the Elastic Property of Carbon Nanotube-Reinforced Composites”, J. ASME, Vol. 126, No. 3, pp. 250-257, 2004.

17. Jafari Mehrabadi, S., Kargarnovin, M.H., and Najafizadeh, M.M. “Free Vibration Analysis of Functionally Graded Coupled Circular Plate With Piezoelectric Layers”, J. Mechanical Science and Technology. Vol. 23, No. 8, pp. 2008-2021, 2009.

18. Hosseini Hashemi, S., Fadaee, M., and Atashipour, S.R. “Study on the Free Vibration of Thick Functionally Graded Rectangular Plates According to a New Exact Closed-Form Procedure”, J. Composite Structures, Vol. 93, No. 3, pp. 722-735, 2011.

19. Bert, C.W. and Malik, M. “Differential Quadrature Method in Computational Mechanics: a Review”, J. Appl. Mech. Rev, Vol. 49, No. 1, pp. 1-27, 1996.

## پیوست الف-روش DQ

روش‌های تقریبی عددی، کاربرد زیادی برای حل معادلات دیفرانسیل پاره‌ای در زمینه‌های مختلف مهندسی دارند. در میان این روش‌ها، روش‌های کلاسیک مانند روش تفاضل‌های محدود و اجزاء محدود به خوبی شناخته شده و کاربرد آنها توسعه داده شده است. در این روش‌ها، استفاده از تعداد زیادی نقاط شبکه می‌تواند منجر به نتایج دقیقی شود که البته این امر مستلزم استفاده از رایانه‌های با ظرفیت بالا می‌باشد. پژوهش در مورد یافتن روش‌های عددی با محاسبات کمتر همواره مطرح بوده است. یکی از این روش‌ها، روش DQ می‌باشد.

روش DQ در سال ۱۹۷۱ توسط بلمن و کاستی ابداع شد. پایه و اساس این روش، بیان مشتق یکتابع نسبت به یک راستای مختصات به صورت یک جمع خطی وزنی از مقادیر تابع در تمام نقاط شبکه می‌باشد. روش DQ دارای توان تعیین جواب گسسته شده با کمترین حجم محاسبات می‌باشد. مطالعات انجام شده در مورد این روش، نشان داده است که DQM دارای پتانسیل لازم برای رقابت با روش اجزاء محدود و روش تفاضل‌های محدود است.

اساسی‌ترین قدم در کاربرد روش DQ یافتن ضرایب وزنی است. برای یافتن ضرایب وزنی از یک سری توابع آزمایشی استفاده می‌شود، به این ترتیب که این توابع و مشتقان آنها در معادله (A.1) قرار گرفته که ارضای این معادلات، منجر به حل دستگاهی می‌شود که از آن، ضرایب وزنی به دست می‌آید.

جهان<sup>۲</sup> و یک نانورئوستات<sup>۳</sup> استفاده می‌شود. در کاربردهای آینده دورنمای جالبی نظیر نوسان‌سازهای مکانیکی گیگاهرتزی به چشم می‌خورد.

**ب-۴- خواص الکتریکی**  
به دلیل تقارن و ساختار منحصر به فرد گرافیت، خواص الکتریکی نanolوله به شدت تحت تأثیر ساختار nanolوله است. بسته به بردار کایرال آنها، nanolوله‌های کربنی با قطری کم می‌توانند نیمه‌هادی یا فلزی باشند. تفاوت در هدایت الکتریکی به دلیل ساختمان مولکولی آنهاست که ساختار باند انرژی متفاوت و در نتیجه شکاف باند متفاوتی را نتیجه می‌دهد.

**ب-۵- خواص حرارتی**  
تمام nanolوله‌ها هدایت گرمایی خوبی در راستای طول‌شان دارند؛ در حالی که در راستای عرض‌لوله، عایق حرارت‌هستند و به این ترتیب می‌توانند گرما را از مسیرهای هدایت‌شده انتقال دهند.

**ب-۶- رفتار الاستیکی nanolوله**  
بررسی رفتار الاستیکی SWNT‌ها، یکی از بحث‌های جنجالی سال‌های اخیر بوده است. در مجموع SWNT‌ها از فولاد سخت‌تر و در برابر نیروهای فیزیکی مقاوم‌تر هستند. فشار بر سر nanolوله، بدون اعمال هیچ صدمه‌ای به nanolوله، باعث خم شدن آن می‌شود. با برداشتن فشار، سر nanolوله به موقعیت اولیه‌اش بر می‌گردد. فرمول‌بندی این رفتار نسبتاً مشکل است و توافق روی مقدار عددی دقیقی حاصل نشده است. مدول یانگ (الاستیسیته) nanolوله‌ای تک جداره نزدیک یک تراپاسکال است و حداقل استحکام کششی آن نزدیک ۳۰ گیگاپاسکال است.

(A.3)

$$\zeta_i = \frac{h}{2} \left( 1 - \cos \left( \frac{i-1}{N-1} \pi \right) \right),$$

$$i = 1, \dots, N,$$

با تعیین ضرایب وزنی (A.2) و استفاده از توزیع نقاط شبکه (A.3) و جایگذاری این ضرایب در رابطه (A.1)، هدف اصلی از کاربرد این روش که حل معادله دیفرانسیل حاکم بر مسئله می‌باشد، حاصل می‌شود.

### پیوست ب- خواص nanolوله ها

خواص الکتریکی، مولکولی و ساختاری nanolوله‌ها تا حد زیادی از ساختار تقریباً یک بعدی آنها ناشی می‌شود. در اینجا به مهم‌ترین خواص nanolوله‌های کربنی و علت مولکولی آنها اشاره می‌کنیم.

### ب-۱- واکنش‌پذیری شیمیایی

به دلیل وجود احنا و قوسی شکل بودن سطح CNT، آنها واکنش‌پذیری بهتری در مقایسه با صفحه گرافیتی دارند. واکنش‌پذیری nanolوله‌های کربنی مستقیماً به بهم ریختن توازن اوپریتال پی<sup>۱</sup> آنها که در اثر انحنای سطحی ایجاد می‌شود، بستگی دارد.

### ب-۲- استحکام و مقاومت

nanolوله‌های کربنی، هم از نظر مقاومت کششی و هم از نظر ضریب کشسانی، یکی از محکم‌ترین موادی هستند که تاکنون شناخته شده‌اند. این استحکام برگرفته از پیوندهای کووالانسی بین اتم‌های کربن است. مدول یانگ nanolوله‌های کربنی در راستای محورشان بسیار زیاد است.

### ب-۳- خواص حرکتی

nanolوله‌های کربنی چند جداره، nanolوله‌های هم محوری‌اند که دقیقاً داخل یکدیگر قرار گرفته‌اند و دارای خاصیتی بر جسته‌اند. به این ترتیب که یک nanolوله در هسته مرکزی می‌تواند درون لوله بیرونی، بدون هیچ اصطکاکی بلغزد و یک یاتاقان خطی و یا چرخشی ایده‌آل اتمی را به وجود می‌آورد. این، یکی از اولین مثال‌های واقعی نانوفناوری مولکولی است (جاگذاری دقیق اتم‌ها برای ساخت ماشین‌های مفید). این خاصیت، هم‌اکنون برای ساخت کوچک‌ترین موتور چرخشی

2- Nanorotor  
3- Nanorheostat

1- Pi-Orbital